

작업에 따른 로봇-포지셔너 시스템의 최적 경로제어

전 의 식*

* 천안공업전문대학 용접기술과

오 재 응**

** 한양대학교 정밀기계공학과

Task Oriented Optimal Trajectory Control of Robot-Posioner System

Euy-Sik Jeon*

Dept. of Welding Technology
* Chunan National Junior Technical College

Jae-Eung Oh**

Dept. of Precision Mechanical Eng.
** Hanyang University

ABSTRACT

Recently, due to the development of new technology and products, FA has been accelerating for obtaining high-quality and saving of resources and power. Introduction of automation to the field which has had working condition is needed and welding is one of these field.

In this study, solving algorithm for dean hand control which requires in the automatic arc welding system is proposed. For the verification of the algorithm, numerical examples are shown and visulization is carried out using developed graphic tools.

1. 서론

최근 전기기술, 신제품 개발이 활발해짐에 따라 자원 및 동력 절약, 고품질화를 위한 공장자동화가 가속화되고 있다. 이중 산업 전반에 널리 쓰이면서 작업조건이 좋지 않은 분야에 자동화의 도입이 더욱 절실하며 이러한 대표적인 분야를 용접이라 할 수 있다.

용접자동화는 광학센서나 아크센서 등의 계속자동화로 부터 용접 파라미터를 입력시켜 얻을 수 있으며, 이를 위하여는 용접기구 (로봇-포지셔너)의 정확한 궤적제어가 수행되어야 하며 중력이 용접부의 금속용융과정을 도와주는 것. 따라서 일정한 작업속도 유지 및 용접시입의 정확한 추적 등이 중요한 사항으로 요구되어진다.

본 연구에서는 자동아크용접시스템에서 요구되는 아래보기 자세 용접의 궤적제어를 위한 알고리즘을 제시하고자 한다. 이를 위하여 매니퓰레이터의 위치, 속도, 퍼지셔너 축에 대한 위치 벡터, 아래보기 용접자세에서의 포지셔너 관절 속도에 대해 요구되는 운동학적 변환을 계산하면서 일정한 용접속도 제어가 이루어 지도록 변환 알고리즘을 유도하고자 한다. 작업특성에 따라 용접작업을 분석하며 작업 목적에 맞게 궤적의 최적제어를 하고, 그 타당성 검증에 위해 수치 예 및 그래픽 등을 이용한 가시적 검증을 행하고자 한다.

2. 로봇-포지셔너 시스템의 기구학적 해석

아래보기 용접자세는 다른 자세에 비해 힘전달이 많으며 다중용접의 경우 pass의 수가 적어도 된다는 장점을 지니고 있다.

로봇과 포지셔너를 이용하여 자동용접을 수행할 때

(i) 로봇만 움직이는 경우

(ii) 포지셔너와 로봇이 동시에 제어되는 경우의 두가지로 분류할 수 있으며 경우 (i)은 teaching pendant에 의해 교신이 쉽게 가능하지만 경우(ii)는 그렇지 못하다. 그러나 경우(i)은 작업영역이나 작업조건에 제한을 받게되므로 바람직하다고 볼 수 없으며 따라서 로봇과 포지셔너가 동시에 유지하면서 일정한 작업속도와 적당한 용접와이어 자세를 갖는 변환알고리즘을 유도하고자 한다.

대상의 시스템은 Fig.1과 같은 7자유도를 갖는 로봇-포지셔너 시스템이다. 로봇의 임의의 위치와 자세를 나타내는 변환 행렬은 다음 식과 같이 정의 한다.

$$A_j = [\begin{matrix} n & o & a & p \end{matrix}] \quad (1)$$

$$A_j = \begin{bmatrix} n_x & o_x & a_x & p_x \\ n_y & o_y & a_y & p_y \\ n_z & o_z & a_z & p_z \\ 0 & 0 & 0 & 1 \end{bmatrix} \quad (2)$$

기존 좌표계에 대한 N개의 링크를 갖는 로봇의 손끝의 위치와 자세는 식(3)과 같이 정의할 수 있으며

$$[Tr(i)] = A_1 A_2 A_3 \dots A_N \quad (3)$$

같은 방법으로 M 자유도를 갖는 포지셔너는 다음과 같이 정의한다.

$$[Tp(i)] = A_{p1} A_{p2} A_{p3} \dots A_{pN} \quad (4)$$

2.1. 로봇-포지셔너 시스템의 역기구학적 해

로봇-포지셔너를 하나의 기구학적 모델로 구성하기 위

하여 포지셔너를 하나의 기구학적 모델로 구성하기 위하여 포지셔너 위의 기준좌표계로부터 로봇 손끝(end effector)까지 각 관절에 대하여 Denavit Hartenberg규칙에 의하여 좌표계를 Table 1과 Fig.1에 의해 각 좌표별 등차 변환 행렬은 다음과 같이 구할 수 있다.

$$A_1 = \begin{bmatrix} s_1 & 0 & s_1 & 0 \\ s_1 & 0 & -c_1 & 0 \\ 0 & 1 & 0 & d_1 \\ 0 & 0 & 0 & 1 \end{bmatrix} \quad (5)$$

$$A_2 = \begin{bmatrix} c_2 & 0 & -s_2 & a_2c_2 \\ s_2 & 0 & c_2 & a_2s_2 \\ 0 & -1 & 0 & 0 \\ 0 & 0 & 0 & 1 \end{bmatrix} \quad (6)$$

$$A_3 = \begin{bmatrix} c_3 & 0 & -s_3 & 0 \\ s_3 & 0 & c_3 & 0 \\ 0 & -1 & 0 & d_3 \\ 0 & 0 & 0 & 1 \end{bmatrix} \quad (7)$$

$$A_4 = \begin{bmatrix} -s_4 & c_4 & 0 & a_4s_4 \\ -c_4 & s_4 & 0 & -a_4c_4 \\ 0 & 0 & 1 & 0 \\ 0 & 0 & 0 & 1 \end{bmatrix} \quad (8)$$

$$A_5 = \begin{bmatrix} -s_5 & -c_5 & 0 & -a_5s_5 \\ c_5 & -s_5 & 0 & a_5c_5 \\ 0 & 0 & 1 & 0 \\ 0 & 0 & 0 & 1 \end{bmatrix} \quad (9)$$

$$A_6 = \begin{bmatrix} c_6 & 0 & -s_6 & 0 \\ s_6 & 0 & c_6 & 0 \\ 0 & -1 & 0 & 0 \\ 0 & 0 & 0 & 1 \end{bmatrix} \quad (10)$$

$$A_7 = \begin{bmatrix} c_7 & -s_7 & 0 & 0 \\ s_7 & c_7 & 0 & 0 \\ 0 & 0 & 1 & d_7 \\ 0 & 0 & 0 & 1 \end{bmatrix} \quad (11)$$

여기서,

$$s_i = \sin(\theta_i), \quad c_i = \cos(\theta_i) \\ s_{ij} = \sin(\theta_i + \theta_j), \quad c_{ij} = \cos(\theta_i + \theta_j)$$

따라서 R-P시스템의 등차변환 행렬은 다음과 같으며,

$$T_7 = A_1 A_2 A_3 A_4 A_5 A_6 A_7 \quad (12)$$

Table 2와 같이 나타낼 수 있다.

역기구학적 해를 구하기 위하여 식(12)로부터

$$[A_2]^{-1}[A_1]^{-1} T_7 = A_3 A_4 A_5 A_6 A_7 \quad (13)$$

로 놓는다.

이때 식(13)의 좌변은

$$\begin{bmatrix} c_2(c_1 n_x + s_1 n_y) + s_2 n_z & c_2(c_1 o_x + s_1 o_y) + s_2 o_z \\ -s_1 n_x + c_1 n_y & -s_1 o_x + c_1 o_y \\ -s_2(c_1 n_x + s_1 n_y) + c_2 n_z & -s_2(c_1 o_x + s_1 o_y) + c_2 o_z \\ 0 & 0 \\ c_2(c_1 a_x + s_1 a_y) + s_2 a_z & c_2(c_1 p_x + s_1 p_y) + s_2(p_z - d_1) - a_2 \\ -s_1 a_x + c_1 a_y & -s_1 p_x + c_1 p_y \\ -s_2(c_1 a_x + s_1 a_y) + c_2 a_z & -s_2(c_1 p_x + s_1 p_y) + c_2(p_z - d_1) \\ 0 & 1 \end{bmatrix} \quad (14)$$

이때 우변은

$$\begin{bmatrix} z_{11} & z_{12} & z_{13} & z_{14} \\ & & z_{23} & z_{24} \\ z_{31} & z_{32} & z_{33} & \\ 0 & 0 & 0 & 1 \end{bmatrix} \quad (15)$$

우선 포지셔너의 행방향을 임의로 결정한다.

$$o_2 = C \quad (임의의 값으로) \quad (16)$$

$$z_{13} = z_{24} \quad (17)$$

$$z_{14} = z_{23}$$

식(17)을 풀어 정리하면

$$c_1(a_2 a_3 c_3 - a_3(p_z - d_1)) + a_2 a_3 + s_1(a_2 s_3 s_4(p_z - d_1) - a_2 p_x) - a_2 a_3 = c_2(p_3 a_3 - p_3 a_3) \quad (18)$$

식 (18)을 3 각변에 의해 대치시키면

$$c_1 A + s_1 B = K \quad (19)$$

여기서

$$A = a_2(a_2 p_3 - a_3(p_z - d_1)) + a_2 a_3 \\ B = a_2 a_3(p_z - d_1) - a_2 p_x \\ K = c_2(p_3 a_3 - p_3 a_3)$$

$A = R \cos \phi$, $B = R \sin \phi$ 라 놓으면 식(19)는

$$s_1 C + c_1 S = \frac{K}{R} \quad (20)$$

$$s(\theta_1 + \phi) = \frac{K}{R}$$

여기서 $R = \sqrt{A^2 + B^2}$, $\phi = \tan^{-1}(\frac{B}{A})$ 이며

따라서,

$$c(\theta_1 + \phi) = \sqrt{1 - \frac{K^2}{R^2}}$$

그러므로

$$\theta_1 = -\tan^{-1}\left(\frac{B}{A}\right) + \tan^{-1}\left(\frac{K}{\sqrt{A^2 + B^2} - K}\right) \quad (22)$$

θ_3 를 구하기 위하여

$$\frac{z_{24}}{z_{14}} = -\frac{s_2}{c_2} \quad (23)$$

타리식

$$\theta_2 = \tan^{-1} \left[\frac{-21P_x + 311Y}{a_2((1P_x + 311Y) + a_2^2(P_2 - J_1) - a_2)} \right] \quad (24)$$

같은 방법으로 이 를 구하면 Table 3과 같다.

3.1.2. 자료보완을 이용한 회절차

로봇-프지서너 시스템에서 작업은 프지서너의 비운동(Mounting)차조계로부터 저속되므로 프지서너 상에서 저속되는 1번째 작업을 일반적으로 다음과 같이 표현한다.

$$X(i) = f_1(i) \quad (25)$$

이를 표현한 회절차는 리차이변환을 이용 다음과 같이 쓸 수 있다.

$$d(i) = a^*(i)X(i) + (1-a^*(i))d(i-1) \quad (26)$$

여기서 $a^*(i) = a^*(i)$: 리차이변환
 $(1-a^*(i))d(i-1)$: 사용작업소
 $d(i-1)$: 임의의 미소 벡터

상식에서 (i) 는 다시 성능지수로 다음과 같이 나타낼 수 있다.

$$P = H(i) \quad (27)$$

이 성능지수를 작업의 특성에 따라 결정할 수 있다.

3.2. 용접선에 따른 경로 제어

아르용접은 다음과 같은 몇가지 중요한 사항이 요구된다.
 (1) 일의 위치에서 용접작업시 중력은 용속 용해 과정을 방해하지 못하도록 되어야한다.
 (2) 용접부의 일정한 임멸을 위하여 보치의 각속도를 일정하게 해주어야한다.
 (3) 용접부를 따라 모든 점에서 적당한 용융을 확실하게 시, 위치를 용접조건을 정확히 제어하는 것이 필요하다.

3.1.1. 아래보기 용접

Fig. 2(a)와 같이 용접선이 중력방향과 수직하지 않은 경우(중력)로 인해 용융속도가 용접과정을 방해할 수 있다. 따라서 아래보기 용접자세를 취해야 할 필요가 있으며, 이는 Fig. 2(b)와 같이 향되도록 이룰 수 있다.

3.2. 작업에 따른 경로 제어

프지서너는 중력방향의 수직평면안에 용접선이 존재하도록 움직여야 하며, 이는 용접선의 단위 벡터 $n_g(i)$ 와 작업 때문에 수직인 $n_g(i)$ 에 의해 다음과 같이 수직화할 수 있다.

$$n_g(i) = \frac{X(i) - X(i-1)}{\|X(i) - X(i-1)\|} \quad (28)$$

$$n_g(i) = \frac{a(i) - [n_g(i) \cdot a(i)] n_g(i)}{\|a(i) - [n_g(i) \cdot a(i)] n_g(i)\|} \quad (29)$$

$$f_g = n_g \times g \quad (30)$$

$$\|f_g\| \rightarrow 0 \text{ 이면 } n_g \rightarrow n_g \parallel g \quad (31)$$

4. 컴퓨터 시뮬레이션 결과 및 고찰

아래보기 용접자세에서 2차원 및 3차원 작업의 시뮬레이션을 위하여 Table 4와 같이 4가지로 시뮬레이션을 하였다. 작업 1은 1차원 직선 작업, 작업 2는 2차원 직선작업, 작업 3은 원작업, 작업 4는 sine 곡선을 나타낸다.

4.1. 2차원 원작업의 용접작업

작업 3은 x-y 평면에서 이루어 지므로 프지서너의 Z방향축이 움직이지않고 있음을 알 수 있다. 또, 프지서너와 토탈로직 시트 반대 방향으로 움직이면서 작업효율을 증대시킬수 있을 것이다. 프지서너의 원점부근은 공구차오버를 고려하지 않는 한 토탈로직 용접시뮬레이션 기술(singular)에 가깝을 수 있으나, 프작업 45° 기울어져 있으므로 robot의 기밀 이해충이 없어 잘 움직일 수 있음을 짐작할 수 있다. Fig. 3, 4, 5, 6은 2차원 작업이 잘 이루어지고 있음을 보여준다.

4.2. 3차원 아래보기 용접 작업

3차원에서 언급한 바와 같이 용접선이 중력방향의 방향에 수직인 평면안에 있지 않은 경우를 Table 4의 작업과 작업 4에서 보여주고 있다. 직선과 곡선 작업에서 모두 유연하게 프지서너가 아래보기 용접자세를 위해 움직이면서 프지서너가 될수 있을 것이다.

5. 결론

로봇-프지서너 시스템의 아래보기 용접작업의 최적경로 제어를 위한 결과 다음과 같은 결과를 얻었다.

첫째, 로봇-프지서너 시스템의 아래보기 용접작업을 위한 역기구학적 해를 구하였다.
 둘째, 용접된 구조물의 아래보기 용접작업은 로봇-프지서너의 동시제어에 의해 작업효율을 높일 수 있었다.

향후 용접조건(용접 종류, 용압, 하이퍼 이동 등)에 관한 연구가 더 병행되어야 할 것으로 사료된다.

참고문헌

[1] Cook, George E., "Robotic Arc Welding: Research in Sensory Feedback Control.", IEEE Trans. on Industrial Electronics, Vol. IE-30, No. 3, PP. 252-268, August, 1983
 [2] Richardson, R.W., Farson, D.F., Jones, C.S. and Rogers, P.F., "A Vision Based Adaptive Welding System for Aerospace," Proc. of 1985 American Welding Society Conv., PP. 110-111, April 29 May 3, 1985
 [3] Denavit, J. and Hartenberg, R.S., "A Kinematic Notation for Lower-Pair Mechanisms Based on Matrices," Journal

of Applied Mechanics, ASME Transactions, June 1955, PP. 215-221

[4] Whitney, D.E., "Resolved Motion Rate Control of Manipulators and Human Prostheses," IEEE Transactions on Man-Machine Systems, Vol. MMS-10, No. 2, June 1969, PP. 47-52

[5] Shigeo Matsuura and Yoshinori Tanimoto, "The Recent Reconstructure Testing by X-rays", 비파괴 검사, 제 35 권 10 호, PP. 704-711, 3.84.01

[6] Shimon Y. Kof, "Handbook of Industrial Robotics", John Wiley & Sons, 1985

[7] Kamal Youcef-Toumi, Haruhiko Asada, "The Design of Open-loop Manipulator Arms with Decoupled and Configuration-Invariant Inertial Response", IEEE International Conference on Robotics and Automation, PP.

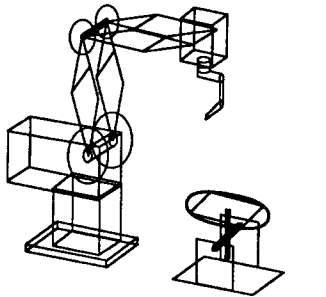
9018-2000, 1985

[8] Masao Uchiyama, Kunitoshi Shimizu and Kyojiro Bekomei, "Performance Evaluation of Manipulators using the Jacobian and its Application to Trajectory Planning", 2nd Robotics Research, MIT Press, PP. 447-454, 1982

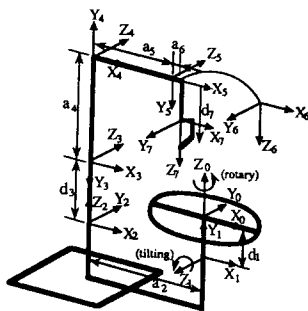
[9] Yoshikawa T, "Analysis and Control of Robot Manipulators with Redundancy", Robotics Research 1st ed, PP. 735-748, 1984

[10] Klein, C.A., "Use of Redundancy in the Design of Robotic System", 2nd Robotics Research, 1984

[11] 권익식, 장재원, 석일홍, 조재승, 임성하, "로봇과 프로그래밍의 기본 개념, 특이성 분석과 역동 자유도 제어", 대한기계학회 논문집 제 19 권 제 6 호 PP. 1252-1264, 1986

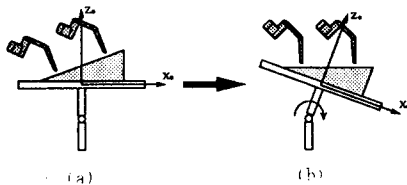


(a)



(b)

Fig.1 A schematic drawing of robot positioner system



(a)

(b)

Fig.2 Robot positioner system with down hand control

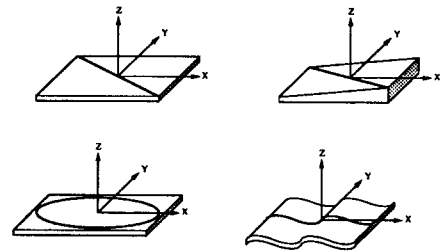
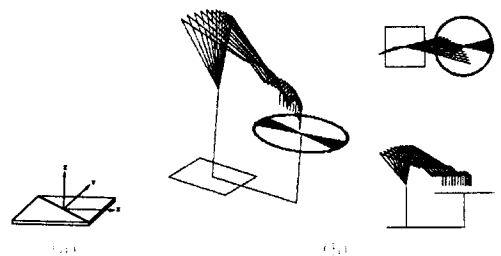
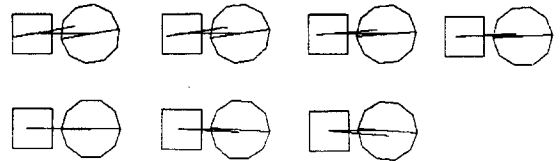


Fig.3 Various type of tasks



(a)

(b)



(c)

Fig.4 Graphical simulation for task 1

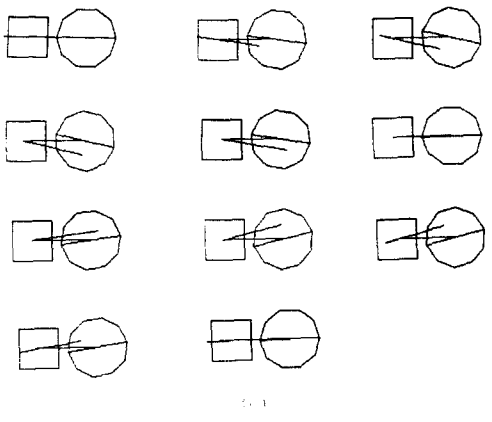
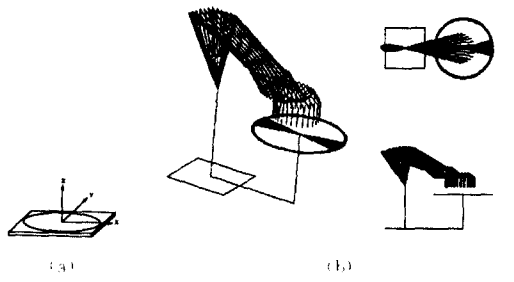


Fig. 5 Graphic simulation for task 3

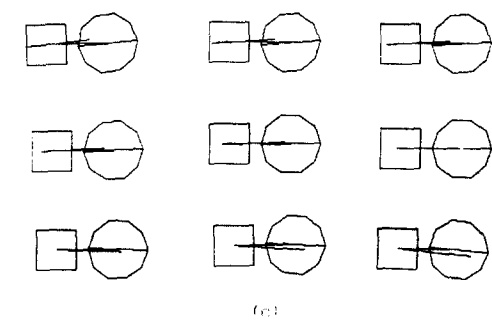
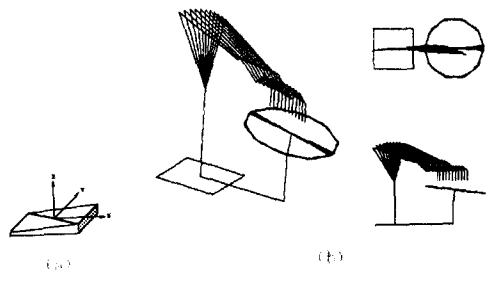


Fig. 6 Graphic simulation for task 3

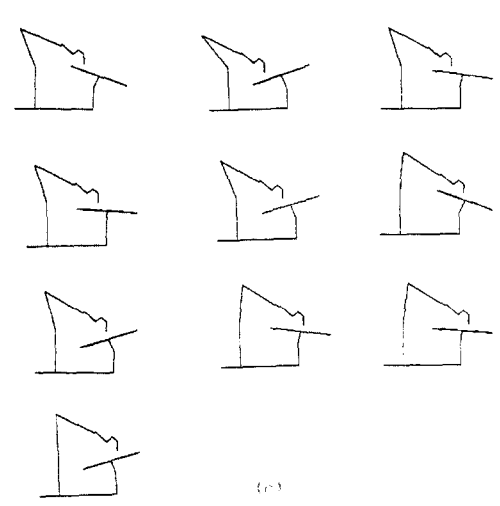
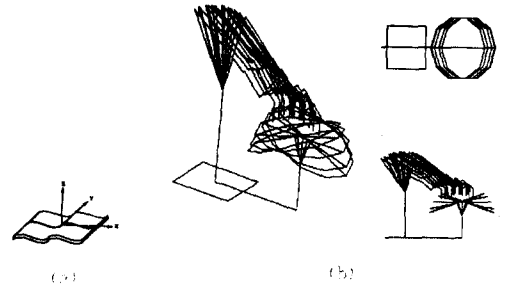


Fig. 7 Graphic simulation for task 4

Table 1 Link parameters of robot positioner system

Link	θ_i	α_i	a_i	d_i
1	θ_1	90°	0	-3.03
2	θ_2	-90°	-11.80	0
3	θ_3	-90°	0	5.04
4	$\theta_4 + 90^\circ$	0°	9.00	0
5	$\theta_5 - 90^\circ$	0°	9.00	0
6	θ_6	-90°	0.35	0
7	θ_7	0°	0	6.30

(unit : inch)

Table 2 Direct kinematic solution for robot positioner system

$$\begin{bmatrix}
 c_1(c_2 - a_2) - a_1 & c_1(c_2 - a_2) - a_2 & c_1(c_2 - a_2) - a_3 & c_1(c_2 - a_2) - a_4 \\
 s_1(c_2 - a_2) - a_5 & s_1(c_2 - a_2) + a_6 & s_1(c_2 - a_2) + a_7 & s_1(c_2 - a_2) + a_8 \\
 a_1 + a_9 & a_2 + a_{10} & a_3 + a_{11} & a_4 + a_{12} + d_1
 \end{bmatrix}$$

Note: $s_i = \sin(\theta_i)$, $c_i = \cos(\theta_i)$, $s_{i+j} = \sin(\theta_i + \theta_j)$, $c_{i+j} = \cos(\theta_i + \theta_j)$

$$\begin{bmatrix}
 x_1 & x_2 & x_3 & x_4 \\
 y_1 & y_2 & y_3 & y_4 \\
 z_1 & z_2 & z_3 & z_4 \\
 0 & 0 & 0 & 1
 \end{bmatrix}
 =
 \begin{bmatrix}
 d_1 c_1 c_2 + a_1 & -d_1 c_1 s_2 + a_2 & -d_1 s_1 & -d_1 c_1 \\
 d_1 s_1 c_2 + a_5 & -d_1 s_1 s_2 + a_6 & -d_1 c_1 & -d_1 s_1 \\
 d_1 c_1 c_2 + a_9 & -d_1 c_1 s_2 + a_{10} & -d_1 s_1 & -d_1 c_1 \\
 -d_1 s_1 & d_1 c_1 & 0 & 0
 \end{bmatrix}$$

Table 3. Inverse kinematic solution of robot positioner system

Joint coordinate	Analytical expression
θ_1	$-\tan^{-1}\left(\frac{B}{A}\right) + \tan^{-1}\left(\frac{K}{\sqrt{A^2 + B^2 - K^2}}\right)$
θ_2	Arbitrary Constant
θ_3	$\tan^{-1}\left[\frac{-s_1 p_x + c_1 p_y}{c_1(c_1 p_x + s_1 p_y) + s_2(p_1 - d_1) - a_2}\right]$
θ_4	$\tan^{-1}\left[\frac{a_2 c_3 + \beta(a_4 - a_3 s_3)}{\beta a_3 c_3 - \alpha(a_4 - a_3 s_3)}\right]$
θ_5	$\sin^{-1}\left[\frac{\alpha^2 + \beta^2 - a_4^2 - a_3^2}{2a_3 a_2}\right]$
θ_6	$\theta_{156} - \theta_1 - \theta_3$
θ_7	$\tan^{-1}\left[\frac{-s_2(c_1 o_x + s_1 o_y) + c_2 o_z}{-s_2(c_1 n_x + s_1 n_y) + c_2 n_z}\right]$

Note: $\theta_{156} = \cos^{-1}\{s_2(c_1 a_x + s_1 a_y) - c_2 a_z\}$
 $\alpha = d_1 - d_7 c_{156} - a_6 s_{156} + s_2(c_1 p_x + s_1 p_y) - c_2(p_1 - d_1)$
 $\beta = c_3(c_2(c_1 p_x + s_1 p_y) + s_2(p_1 - d_1) - a_2) + s_3(-s_1 p_x + c_1 p_y) + d_7 s_{156} - a_6 c_{156}$
 $A = s_2(a_1 p_y - a_2(p_1 - d_1)) + a_2 a_y$
 $B = s_2(a_1(p_1 - d_1) - a_1 p_x) - a_2 a_x$
 $K = c_2(p_x a_y - p_y a_x)$

Table 4. Task Specification

unit (inch)

Task	Initial point			Final point			Hand orientation			
	x_i	y_i	z_i	x_f	y_f	z_f	α	β	γ	
1	-3	3	1	3	-3	1	0°	-90°	0°	2D Line
2	-3	0	1	-3	0	1	0°	-90°	0°	Circle
3	-3	1	2	3	-1	3	0°	-90°	0°	3D Line
4	-3	0	1	3	0	1	0°	-90°	0°	Sine Curve